
MEMORIAL DESCRITIVO (UTM)

SÍTIO CALDEIRÃO (CRATO/CE)

Imóvel: Sítio Caldeirão

Município: Crato/CE

U.F: - BR

Área (ha): 228,22

Perímetro (m): 7.299,23

Inicia-se a descrição deste perímetro no vértice **-M-0001**, georreferenciado no Sistema Geodésico Brasileiro, DATUM - SIRGAS2000, MC-39°W, de coordenadas **N 9.218.376,785m** e **E 437.886,489m**; deste segue com azimute de 185°35'32" por uma distância de 101,79m até o vértice **-M-0002**, de coordenadas **N 9.218.275,484m** e **E 437.876,570m**; deste segue com azimute de 187°17'30" por uma distância de 63,68m até o vértice **-M-0003**, de coordenadas **N 9.218.212,323m** e **E 437.868,488m**; deste segue com azimute de 187°40'24" por uma distância de 111,82m até o vértice **-M-0004**, de coordenadas **N 9.218.101,500m** e **E 437.853,557m**; deste com azimute de 187°51'51" por uma distância de 133,74m até o vértice **-M-0005**, de coordenadas **N 9.217.969,022m** e **E 437.835,259m**; deste com azimute de 187°15'07" por uma distância de 80,67m até o vértice **-M-0006**, de coordenadas **N 9.217.888,994m** e **E 437.825,075m**; deste segue com azimute de 186°56'00" por uma distância de 84,71m até o vértice **-M-0007**, de coordenadas **N 9.217.804,908m** e **E 437.814,850m**; deste segue , com azimute de 186°19'23" por uma distância de 77,66m até o vértice **-M-0008**, de coordenadas **N 9.217.727,722m** e **E 437.806,297m**; deste segue com azimute de 187°22'38" por uma distância de 78,68m até o vértice **-M-0009**, de coordenadas **N 9.217.649,698m** e **E 437.796,195m**; deste segue com azimute de 187°05'03" por uma distância de 118,57m até o vértice **-M-0010**, de coordenadas **N 9.217.532,038m** e **E 437.781,573m**; deste segue com azimute de 187°33'23" por uma distância de 74,58m até o vértice **-M-0011**, de coordenadas **N 9.217.458,109m** e **E 437.771,766m**; deste segue com azimute de 187°18'14" por uma distância de 75,58m até o vértice **-M-0012**, de coordenadas **N 9.217.383,138m** e **E 437.762,157m**; deste segue com azimute de 186°39'00" por uma distância de 45,06m até o vértice **-M-0013**, de coordenadas **N 9.217.338,385m** e **E 437.756,939m**; deste segue com azimute de 189°49'07" por uma distância de 20,72m até o vértice **-M-0014**, de coordenadas **N 9.217.317,965m** e **E 437.753,405m**; deste segue com azimute de 188°04'00" por uma distância de 63,20m até o vértice **-M-0015**, de coordenadas **N 9.217.255,388m** e **E 437.744,536m**; deste segue com azimute de 187°37'51" por uma distância de 90,21m até o vértice **-M-0016**, de coordenadas **N 9.217.165,975m** e **E 437.732,557m**; deste segue com azimute de 187°50'03" por uma distância de 46,56m até o vértice **-M-0017**, de coordenadas **N 9.217.119,845m** e **E 437.726,210m**; deste segue com azimute de 188°01'34" por uma distância de 54,09m até o vértice **-M-0018**, de coordenadas **N 9.217.066,280m** e **E 437.718,657m**; deste segue com azimute de 187°20'44" por uma distância de 29,43m até o vértice **-M-0019**, de coordenadas **N 9.217.037,093m** e **E 437.714,894m**; deste segue com azimute de 130°36'54" por uma distância de 29,52m até o vértice **-M-0020**, de coordenadas **N 9.217.017,874m** e **E 437.737,306m**; deste segue com azimute de 78°47'40" por uma distância de 105,38m até o vértice **-M-0021**, de coordenadas **N 9.217.038,353m** e **E**

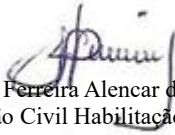
437.840,681m; deste segue com azimute de $96^{\circ}06'36''$ por uma distância de 51,14m até o vértice **-M-0022**, de coordenadas **N 9.217.032,910m** e **E 437.891,528m**; deste segue com azimute de $81^{\circ}50'58''$ por uma distância de 29,75m até o vértice **-M-0023**, de coordenadas **N 9.217.037,128m** e **E 437.920,979m**; deste segue com azimute de $71^{\circ}22'59''$ por uma distância de 56,83m até o vértice **-M-0024**, de coordenadas **N 9.217.055,270m** e **E 437.974,834m**; deste segue com azimute de $84^{\circ}50'14''$ por uma distância de 42,73m até o vértice **-M-0025**, de coordenadas **N 9.217.059,115m** e **E 438.017,389m**; deste segue com azimute de $113^{\circ}40'37''$ por uma distância de 30,63m até o vértice **-M-0026**, de coordenadas **N 9.217.046,816m** e **E 438.045,438m**; deste segue com azimute de $100^{\circ}20'57''$ por uma distância de 26,61m até o vértice **-M-0027**, de coordenadas **N 9.217.042,036m** e **E 438.071,612m**; deste com azimute de $77^{\circ}34'19''$ por uma distância de 59,89m até o vértice **-M-0028**, de coordenadas **N 9.217.054,924m** e **E 438.130,094m**; deste com azimute de $138^{\circ}31'36''$ por uma distância de 51,72m até o vértice **-M-0029**, de coordenadas **N 9.217.016,175m** e **E 438.164,344m**; deste com azimute de $121^{\circ}12'53''$ por uma distância de 35,30m até o vértice **-M-0030**, de coordenadas **N 9.216.997,880m** e **E 438.194,535m**; deste com azimute de $144^{\circ}09'41''$ por uma distância de 16,27m até o vértice **-M-0031**, de coordenadas **N 9.216.984,692m** e **E 438.204,060m**; deste com azimute de $131^{\circ}13'15''$ por uma distância de 33,17m até o vértice **-M-0032**, de coordenadas **N 9.216.962,833m** e **E 438.229,011m**; deste com azimute de $129^{\circ}37'43''$ por uma distância de 34,15m até o vértice **-M-0033**, de coordenadas **N 9.216.941,052m** e **E 438.255,313m**; deste com azimute de $151^{\circ}45'17''$ por uma distância de 15,56m até o vértice **-M-0034**, de coordenadas **N 9.216.927,348m** e **E 438.262,675m**; deste com azimute de $164^{\circ}46'34''$ por uma distância de 22,18m até o vértice **-M-0035**, de coordenadas **N 9.216.905,951m** e **E 438.268,498m**; deste com azimute de $161^{\circ}45'40''$ por uma distância de 18,12m até o vértice **-M-0036**, de coordenadas **N 9.216.888,739m** e **E 438.274,170m**; deste com azimute de $147^{\circ}52'02''$ por uma distância de 20,81m até o vértice **-M-0037**, de coordenadas **N 9.216.871,116m** e **E 438.285,239m**; deste com azimute de $107^{\circ}07'14''$ por uma distância de 38,16m até o vértice **-M-0038**, de coordenadas **N 9.216.859,882m** e **E 438.321,709m**; deste com azimute de $117^{\circ}54'49''$ por uma distância de 11,82m até o vértice **-M-0039**, de coordenadas **N 9.216.854,349m** e **E 438.332,153m**; deste com azimute de $127^{\circ}10'10''$ por uma distância de 19,86m até o vértice **-M-0040**, de coordenadas **N 9.216.842,349m** e **E 438.347,980m**; deste com azimute de $160^{\circ}27'34''$ por uma distância de 27,73m até o vértice **-M-0041**, de coordenadas **N 9.216.816,219m** e **E 438.357,254m**; deste com azimute de $156^{\circ}30'23''$ por uma distância de 12,81m até o vértice **-M-0042**, de coordenadas **N 9.216.804,475m** e **E 438.362,359m**; deste com azimute de $235^{\circ}59'50''$ por uma distância de 10,29m até o vértice **-M-0043**, de coordenadas **N 9.216.798,723m** e **E 438.353,832m**; deste com azimute de $184^{\circ}12'50''$ por uma distância de 28,38m até o vértice **-M-0044**, de coordenadas **N 9.216.770,424m** e **E 438.351,747m**; deste com azimute de $185^{\circ}56'36''$ por uma distância de 121,16m até o vértice **-M-0045**, de coordenadas **N 9.216.649,911m** e **E 438.339,201m**; deste com azimute de $186^{\circ}28'15''$ por uma distância de 58,99m até o vértice **-M-0046**, de coordenadas **N 9.216.591,300m** e **E 438.332,553m**; deste com azimute de $187^{\circ}21'54''$ por uma distância de 59,93m até o vértice **-M-0047**, de coordenadas **N 9.216.531,866m** e **E 438.324,871m**; deste com azimute de $188^{\circ}00'12''$ por uma distância de 105,65m até o vértice **-M-0048**, de coordenadas **N 9.216.427,241m** e **E 438.310,161m**; deste com azimute de $188^{\circ}57'55''$ por uma

distância de 58,75m até o vértice **-M-0049**, de coordenadas **N 9.216.369,206m** e **E 438.301,005m**; deste com azimute de 187°21'53" por uma distância de 125,07m até o vértice **-M-0050**, de coordenadas **N 9.216.245,168m** e **E 438.284,973m**; deste com azimute de 186°37'48" por uma distância de 194,22m até o vértice **-M-0051**, de coordenadas **N 9.216.052,250m** e **E 438.262,549m**; deste com azimute de 248°58'49" por uma distância de 69,34m até o vértice **-M-0052**, de coordenadas **N 9.216.027,377m** e **E 438.197,819m**; deste com azimute de 248°29'26" por uma distância de 59,86m até o vértice **-M-0053**, de coordenadas **N 9.216.005,430m** e **E 438.142,131m**; deste com azimute de 246°12'15" por uma distância de 51,43m até o vértice **-M-0054**, de coordenadas **N 9.215.984,678m** e **E 438.095,070m**; deste com azimute de 249°29'11" por uma distância de 163,44m até o vértice **-M-0055**, de coordenadas **N 9.215.927,402m** e **E 437.941,990m**; deste com azimute de 250°15'24" por uma distância de 55,01m até o vértice **-M-0056**, de coordenadas **N 9.215.908,820m** e **E 437.890,216m**; deste com azimute de 247°44'17" por uma distância de 56,38m até o vértice **-M-0057**, de coordenadas **N 9.215.887,461m** e **E 437.838,038m**; deste com azimute de 247°44'12" por uma distância de 153,88m até o vértice **-M-0058**, de coordenadas **N 9.215.829,159m** e **E 437.695,625m**; deste com azimute de 249°44'15" por uma distância de 116,32m até o vértice **-M-0059**, de coordenadas **N 9.215.788,876m** e **E 437.586,507m**; deste com azimute de 244°37'42" por uma distância de 46,69m até o vértice **-M-0060**, de coordenadas **N 9.215.768,870m** e **E 437.544,321m**; deste com azimute de 322°19'50" por uma distância de 62,11m até o vértice **-M-0061**, de coordenadas **N 9.215.818,032m** e **E 437.506,367m**; deste com azimute de 323°39'40" por uma distância de 91,91m até o vértice **-M-0062**, de coordenadas **N 9.215.892,066m** e **E 437.451,906m**; deste com azimute de 328°14'49" por uma distância de 38,88m até o vértice **-M-0063**, de coordenadas **N 9.215.925,127m** e **E 437.431,445m**; deste com azimute de 325°06'24" por uma distância de 47,04m até o vértice **-M-0064**, de coordenadas **N 9.215.963,714m** e **E 437.404,533m**; deste com azimute de 326°06'30" por uma distância de 37,38m até o vértice **-M-0065**, de coordenadas **N 9.215.994,743m** e **E 437.383,689m**; deste com azimute de 313°15'24" por uma distância de 10,76m até o vértice **-M-0066**, de coordenadas **N 9.216.002,116m** e **E 437.375,853m**; deste com azimute de 284°14'54" por uma distância de 13,39m até o vértice **-M-0067**, de coordenadas **N 9.216.005,412m** e **E 437.362,874m**; deste com azimute de 279°09'09" por uma distância de 72,22m até o vértice **-M-0068**, de coordenadas **N 9.216.016,900m** e **E 437.291,571m**; deste com azimute de 285°17'13" por uma distância de 64,63m até o vértice **-M-0069**, de coordenadas **N 9.216.033,940m** e **E 437.229,227m**; deste com azimute de 287°28'31" por uma distância de 59,87m até o vértice **-M-0070**, de coordenadas **N 9.216.051,918m** e **E 437.172,123m**; deste com azimute de 285°32'46" por uma distância de 110,43m até o vértice **-M-0071**, de coordenadas **N 9.216.081,514m** e **E 437.065,736m**; deste com azimute de 279°44'12" por uma distância de 103,06m até o vértice **-M-0072**, de coordenadas **N 9.216.098,944m** e **E 436.964,157m**; deste com azimute de 281°04'52" por uma distância de 89,42m até o vértice **-M-0073**, de coordenadas **N 9.216.116,129m** e **E 436.876,409m**; deste com azimute de 337°36'34" por uma distância de 3,87m até o vértice **-M-0074**, de coordenadas **N 9.216.119,709m** e **E 436.874,934m**; deste com azimute de 8°09'38" por uma distância de 46,12m até o vértice **-M-0075**, de coordenadas **N 9.216.165,358m** e **E 436.881,480m**; deste com azimute de 8°37'36" por uma distância de 566,43m até o vértice **-M-0076**, de coordenadas **N**

9.216.725,383m e E 436.966,442m; deste com azimute de 9°50'23" por uma distância de 10,86m até o vértice **-M-0077**, de coordenadas **N 9.216.736,088m e E 436.968,299m**; deste com azimute de 349°24'19" por uma distância de 3,78m até o vértice **-M-0078**, de coordenadas **N 9.216.739,803m e E 436.967,604m**; deste com azimute de 11°22'30" por uma distância de 115,69m até o vértice **-M-0079**, de coordenadas **N 9.216.853,221m e E 436.990,422m**; deste com azimute de 17°34'44" por uma distância de 19,72m até o vértice **-M-0080**, de coordenadas **N 9.216.872,025m e E 436.996,379m**; deste com azimute de 5°12'42" por uma distância de 27,00m até o vértice **-M-0081**, de coordenadas **N 9.216.898,918m e E 436.998,832m**; deste com azimute de 11°49'13" por uma distância de 139,28m até o vértice **-M-0082**, de coordenadas **N 9.217.035,246m e E 437.027,363m**; deste com azimute de 12°11'08" por uma distância de 141,55m até o vértice **-M-0083**, de coordenadas **N 9.217.173,610m e E 437.057,242m**; deste com azimute de 11°56'40" por uma distância de 48,89m até o vértice **-M-0084**, de coordenadas **N 9.217.221,444m e E 437.067,361m**; deste com azimute de 12°09'58" por uma distância de 142,98m até o vértice **-M-0085**, de coordenadas **N 9.217.361,214m e E 437.097,493m**; deste com azimute de 11°55'41" por uma distância de 127,14m até o vértice **-M-0086**, de coordenadas **N 9.217.485,607m e E 437.123,771m**; deste com azimute de 10°26'00" por uma distância de 109,23m até o vértice **-M-0087**, de coordenadas **N 9.217.593,035m e E 437.143,552m**; deste com azimute de 9°39'43" por uma distância de 53,81m até o vértice **-M-0088**, de coordenadas **N 9.217.646,083m e E 437.152,583m**; deste com azimute de 11°48'02" por uma distância de 108,49m até o vértice **-M-0089**, de coordenadas **N 9.217.752,283m e E 437.174,771m**; deste com azimute de 13°30'14" por uma distância de 62,40m até o vértice **-M-0090**, de coordenadas **N 9.217.812,959m e E 437.189,342m**; deste com azimute de 8°08'11" por uma distância de 40,17m até o vértice **-M-0091**, de coordenadas **N 9.217.852,728m e E 437.195,028m**; deste com azimute de 10°38'08" por uma distância de 174,66m até o vértice **-M-0092**, de coordenadas **N 9.218.024,389m e E 437.227,264m**; deste com azimute de 8°25'23" por uma distância de 105,12m até o vértice **-M-0093**, de coordenadas **N 9.218.128,380m e E 437.242,663m**; deste com azimute de 8°22'40" por uma distância de 79,37m até o vértice **-M-0094**, de coordenadas **N 9.218.206,903m e E 437.254,227m**; deste com azimute de 8°50'44" por uma distância de 59,27m até o vértice **-M-0095**, de coordenadas **N 9.218.265,464m e E 437.263,340m**; deste com azimute de 77°27'47" por uma distância de 51,29m até o vértice **-M-0096**, de coordenadas **N 9.218.276,598m e E 437.313,409m**; deste com azimute de 78°36'30" por uma distância de 118,20m até o vértice **-M-0097**, de coordenadas **N 9.218.299,944m e E 437.429,280m**; deste com azimute de 85°39'48" por uma distância de 106,89m até o vértice **-M-0098**, de coordenadas **N 9.218.308,027m e E 437.535,865m**; deste com azimute de 90°34'12" por uma distância de 101,77m até o vértice **-M-0099**, de coordenadas **N 9.218.307,015m e E 437.637,633m**; deste com azimute de 73°49'02" por uma distância de 99,88m até o vértice **-M-0100**, de coordenadas **N 9.218.334,853m e E 437.733,560m**; deste com azimute de 73°59'03" por uma distância de 95,33m até o vértice **-M-0101**, de coordenadas **N 9.218.361,156m e E 437.825,193m**; deste com azimute 75°41'43" por uma distância de 63,26m até o vértice **-M-0001**, ponto inicial da descrição deste perímetro de 7.299,23 m.

Todas as coordenadas aqui descritas estão georreferenciadas ao Sistema Geodésico

Brasileiro e encontram-se representadas no Sistema UTM, referenciadas ao **Meridiano Central nº 39 WGr**, tendo como Datum o **SIRGAS2000**. Todos os azimutes e distâncias, área e perímetro foram calculados no plano de projeção UTM.

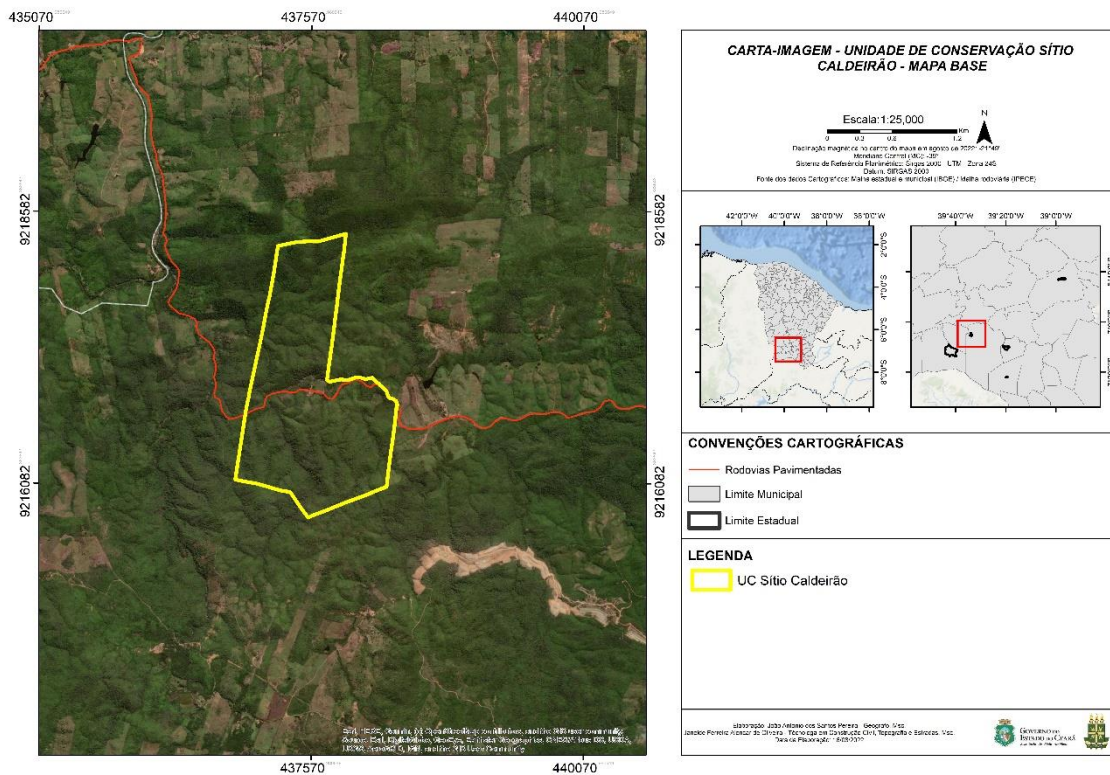


Janeide Ferreira Alencar de Oliveira
Tecnóloga em Construção Civil Habilitação em Topografia e Estradas
Pós-graduada em Geoprocessamento e Georreferenciamento de Imóveis Rurais
Registro Nacional CREA N.º 060116564-0
Registro Regional CREA N.º 34718CE
Registro IBAPE/CE N.º 20220207-56



João Antonio dos Santos Pereira
Bacharel em Geografia
Mestre em Ciências Geodésicas e Tecnologias da Geoinformação

MAPA DE SITUAÇÃO DA ÁREA DE PROTEÇÃO AMBIENTAL DO SÍTIO CALDEIRÃO



Janeide

Janeide Ferreira Alencar de Oliveira
Tecnóloga em Construção Civil Habilitação em Topografia e Estradas
Pós-graduada em Geoprocessamento e Georreferenciamento de Imóveis Rurais
Registro Nacional CREA N.º 060116564-0
Registro Regional CREA N.º 34718CE

João

João Antonio dos Santos Pereira
Bacharel em Geografia
Mestre em Ciências Geodésicas e Tecnologias da Geoinformação